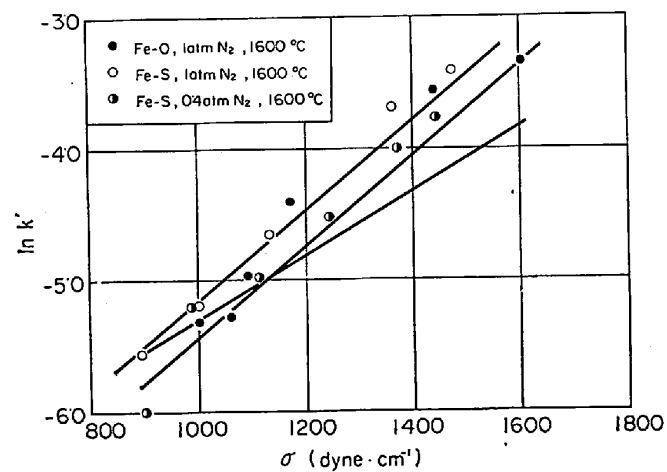
Fig. 4. Relation between  $\ln k'$  and surface tension.Fig. 5. Relation between  $\ln k'$  and surface tension.

Table 1. Values of constant C, A and β in eq(8), (9) and (10).

| System | Temperature (°C) | Partial pressure | C <sub>1</sub> | A                     | β    |
|--------|------------------|------------------|----------------|-----------------------|------|
| Fe-S   | 1500             | 1                | 3.78           | $1.32 \times 10^{-3}$ | 9.15 |
| Fe-S   | 1600             | 1                | 3.61           | $2.08 \times 10^{-3}$ | 8.58 |
| Fe-O   | 1600             | 1                | 1.26           | $1.01 \times 10^{-3}$ | 7.75 |
| Fe-S   | 1600             | 0.4              | 3.61           | $1.58 \times 10^{-3}$ | 8.85 |

となり、さきに実験的に決定した A を使用し同時に(8)および(9)式から濃度 C を消去することにより一般に次のような  $k'$  と  $\sigma$  の関係式がえられる。すなわち

$$\ln k' = \frac{2}{3} \cdot \frac{\sigma}{\Gamma RT} - \beta \quad \dots \dots \dots (10)$$

なお Table 1 には  $C_1$ , A,  $\beta$  の値を条件により示した。Fig. 4 および Fig. 5 にはそれら計算式と実験結果とをプロットした。Fig. 4 によれば計算式にもとづく直線は Fe-S 系および Fe-O-S 系についてはよく満足するところであるが、Fe-O 系では直線の勾配と実験点の勾配とが一致していないがこの理由については目下のところ明らかでない。

なお、Fig. 5 には窒素分圧を変化した場合の一例として分圧が 0.4 の Fe-S 系の結果をプロットしたが計算式はこれをよく満足している。

## 5. 結 言

本報では Fe-O 系および Fe-S 系溶鉄に関する窒素吸収速度と既知の表面張力測定値をもとにして窒素吸収速度と表面張力との関係を体系づけることを試みた。その結果、見かけ上の物質移動係数は表面張力が 1000 ~ 1000  $\text{dyn} \cdot \text{cm}^{-1}$  になるまで硫黄あるいは酸素などの成分に関係なく表面張力と温度により決まる直線関係を示した。しかし約 1000  $\text{dyn} \cdot \text{cm}^{-1}$  以下では表面張力が低下しても見かけ上の物質移動係数はあまり大きな変化を示さない。これはこの濃度における毒物による毒作用が最高でしかもほぼ一定な影響力になつたとみなすならば理解できることであり、硫黄および酸素濃度が高くなつても毒作用としてではなく主として物質移動におよぼす影響として働くと考えられる。また 1600°C の Fe-S 系と Fe-O 系の  $k'$ - $\sigma$  関係はほとんど同じ曲線のうえにあるので Fe-S 系および Fe-O 系の吸収速度は表面張力を知るならばただちに概算することができると思われる。また  $\Gamma$  が一定な全領域にわたつた  $k'$ - $\sigma$  関係は

$$\ln k' = \frac{2}{3} \cdot \frac{\sigma}{\Gamma RT} - \beta$$

であらわすことができた。

## 文 献

- 1) 井上, 長: 鉄と鋼, 52 (1966), p. 1418
- 2) 井上, 長: 鉄と鋼, 49 (1963), p. 1448
- 3) 井上, 長: 鉄と鋼, 51 (1965), p. 884
- 4) P. KOZAKEVITCH. et al.: Mém, Scient., Rev. Met., 58 (1961), p. 517
- 5) J. F. ELLIOTT et al.: Thermochemistry for steel-making, (1960)
- 6) J. F. ELLIOTT et al.: Trans. Met. Soc., Amer. Inst. Min., Met. & Pet. Eng., 224 (1963), p. 844

## (70) 軸受鋼 SUJ-2 の交流エレクトロスラグ溶解について

(エレクトロスラグ再溶解法-ESR-に関する研究一Ⅲ)

神戸製鋼所, 中央研究所

理博 草道 英武・○福原 義浩

On A. C. Electroslag Remelting of Bearing Steel SUJ-2

(Studies on electroslag remelting—ESR—Ⅲ)

Dr. Hidetake KUSAMICHI and Yoshihiro FUKUHARA

## 1. 緒 言

すでに、SF 50 をエレクトロスラグ溶解した結果については報告したが、従来いわれているように顕著な脱硫、脱酸は認められなかつた。その原因は溶解を直流で行なつたためと考えられたので、交流によるパイロット

Table 1. Composition of electrodes (%).

| Electrode | C    | Si   | Mn   | P     | S     | Cr   | O      | $\Sigma N$ | Sol N  | Insol N |
|-----------|------|------|------|-------|-------|------|--------|------------|--------|---------|
| No. 1     | 0.97 | 0.31 | 0.46 | 0.013 | 0.006 | 1.41 | 0.0043 | 0.0087     | 0.0033 | 0.0054  |
| No. 2     | 1.00 | 0.30 | 0.41 | 0.015 | 0.007 | 1.35 | 0.0051 | 0.0076     | 0.0038 | 0.0038  |

Table 2. Composition of slags before melting (%).

| Slags   | SiO <sub>2</sub> | Al <sub>2</sub> O <sub>3</sub> | MnO  | CaO   | MgO   | CaF <sub>2</sub> | P     | S     | TiO <sub>2</sub> | T.Fe |
|---|------------------|--------------------------------|------|-------|-------|------------------|-------|-------|------------------|------|
| CaF <sub>2</sub>                                      | 1.42             | —                              | —    | 0.76  | —     | 97.29            | 0.015 | 0.041 | —                | 0.06 |
| CaF <sub>2</sub> -Al <sub>2</sub> O <sub>3</sub>      | 0.10             | 33.41                          | —    | 2.61  | —     | 60.11            | 0.014 | 0.013 | —                | 0.11 |
| CaF <sub>2</sub> -CaO                                 | —                | —                              | —    | 17.66 | —     | 74.80            | 0.019 | 0.044 | —                | 0.11 |
| G80   | 38.42            | 13.07                          | 7.88 | 25.80 | 10.73 | —                | 0.017 | 0.019 | —                | 0.77 |
| Titania   | 32.93            | 9.43                           | 0.74 | 22.65 | 6.45  | —                | 0.040 | 0.025 | 18.20            | 0.81 |
| CaF <sub>2</sub> -Al <sub>2</sub> O <sub>3</sub> -CaO | 0.02             | 23.86                          | 0.28 | 18.66 | 3.43  | 53.10            | 0.012 | 0.054 | —                | 0.28 |

Table 3. Factors and levels.

| Order        | Factors and levels   |
|--------------|--|
| 1st<br>order | Slag A <sub>1</sub> , A <sub>2</sub> , A <sub>3</sub> , A <sub>4</sub><br>CaF <sub>2</sub> , CaF <sub>2</sub> -Al <sub>2</sub> O <sub>3</sub> , CaF <sub>2</sub> -CaO, G80<br>A <sub>5</sub> , A <sub>6</sub><br>Titania, CaF <sub>2</sub> -Al <sub>2</sub> O <sub>3</sub> -CaF <sub>2</sub> |
|              | Quantity of slag B <sub>1</sub> , B <sub>2</sub><br>8 kg, 4 kg   |
|              | Drying of slag C <sub>1</sub> , C <sub>2</sub><br>Dried, Not dried   |
|              | Power D <sub>1</sub> , D <sub>2</sub><br>200kVA, 100kVA  |
|              | Electrode F <sub>1</sub> , F <sub>2</sub><br>No. 1, No. 2  |
| 2nd<br>order | Radial position ingot G <sub>1</sub> , G <sub>2</sub><br>Outer, Center   |
|              | Longitudinal H <sub>1</sub> , H <sub>2</sub> , H <sub>3</sub><br>Top, Middle, Bottom   |

プラントを作つた。今回は軸受鋼 SUJ-2 について実験したので、その結果を報告する。

## 2. 実験方法

### 2.1 電極材

塩基性電弧炉溶解材 (JIS SUJ-2)

寸法 140 mm $\phi$  × 1m, 約 100 kg, 表面旋削

再現性をみるために、電極材は 2 種類用意した。

### 2.2 スラグ

使用したスラグの組成は Table 2 に示すが、G80 以外は工業用精製 CaF<sub>2</sub>, Al<sub>2</sub>O<sub>3</sub>, CaO などを一度溶解したのち、粉碎して用いた。G80 は市販のユニオンメタル溶接用フラックスである。

### 2.3 エレクトロスラグ溶解

交流パイロットプラントによつてエレクトロスラグ溶解を行なつた。電源容量は 680 kVA であり、内径 360 mm, 長さ 2m (1t) および内径 200 mm, 長さ 1m

Table 4. Combination of factors.

|    | A<br>1~7 | B<br>8 | C<br>9 | D<br>10 | F<br>11 | 12 | 13 | $e_1$<br>14 | 15 | Order of<br>melting |
|----|----------|--------|--------|---------|---------|----|----|-------------|----|---------------------|
| 1  | 1        | 1      | 1      | 1       | 1       | 1  | 1  | 1           | 1  | 6                   |
| 2  | 1        | 2      | 2      | 2       | 2       | 2  | 2  | 2           | 2  | 1                   |
| 3  | 2        | 1      | 1      | 1       | 1       | 2  | 2  | 2           | 2  | 15                  |
| 4  | 2        | 2      | 2      | 2       | 2       | 1  | 1  | 1           | 1  | 16                  |
| 5  | 3        | 1      | 1      | 2       | 2       | 1  | 1  | 2           | 2  | 13                  |
| 6  | 3        | 2      | 2      | 1       | 1       | 2  | 2  | 1           | 1  | 11                  |
| 7  | 4        | 1      | 1      | 2       | 2       | 2  | 2  | 1           | 1  | 7                   |
| 8  | 4        | 2      | 2      | 1       | 1       | 1  | 1  | 2           | 2  | 14                  |
| 9  | 5        | 1      | 2      | 1       | 2       | 1  | 2  | 1           | 2  | 5                   |
| 10 | 5        | 2      | 1      | 2       | 1       | 2  | 1  | 2           | 1  | 8                   |
| 11 | 6        | 1      | 2      | 1       | 2       | 2  | 1  | 2           | 1  | 4                   |
| 12 | 6        | 2      | 1      | 2       | 1       | 1  | 2  | 1           | 2  | 12                  |
| 13 | 2'       | 1      | 2      | 2       | 1       | 1  | 2  | 2           | 1  | 3                   |
| 14 | 2'       | 2      | 1      | 1       | 2       | 2  | 1  | 1           | 2  | 9                   |
| 15 | 6'       | 1      | 2      | 2       | 1       | 2  | 1  | 1           | 2  | 10                  |
| 16 | 6'       | 2      | 1      | 1       | 2       | 1  | 2  | 2           | 1  | 2                   |

(100 kg) の 2 種類の水冷鋳型が使用できるが、本実験では 200 mm $\phi$  の方の鋳型を使用した。炉底の上には普通鋼の円板をおき、その上に約 20 mm の共金の円板をおいた。この共金の円板の上にカリ硝石、Al 粉、Mg 粉およびスラグの混合物をおいて、その上に消耗電極を接触させ、周囲に詰め込んだ。この状態で通電して溶解を開始した。

溶解条件は直交配列表に割つけ、各鋼塊については縦断面 6 カ所について分析した。データの解析は溶解条件(直交配列)を 1 次単位、鋼塊内位置(2 元配置)を 2 次単位として、分割法で行なつた。

### 2.4 偏析試験

鋼塊の頭部、中央部、底部の各外周部と中心部について 5 元素、Cr, N, O の分析をした。また、各位置の清浄度の測定と非金属介在物の光学顕微鏡による観察を行なつた。

## 3. 実験結果と考察

### 3.1 鋸肌と鋳塊性

鋸肌は直流と交流による違いはほとんど認められない。CaF<sub>2</sub>-CaO 系ではプローホールが著しく、CaF<sub>2</sub>-Al<sub>2</sub>O<sub>3</sub>-CaO 系でもときどきプローホールが認められる。

サルファープリントによる偏析はいずれの鋼塊にも認められない。

### 3.2 C の挙動

直流の場合<sup>1)</sup>と同様に底部外周部に脱炭が認められるが、その他の位置ではほとんど偏析は認めない。

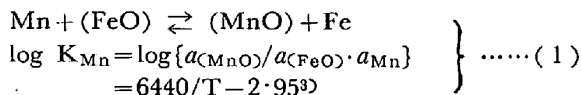
### 3.3 Si の挙動

おしなべて Si は減少するが、その減少量はスラグの塩基度が高いほど大きい。減少量と塩基度 ( $B_L^{12})$  の関係は直流の場合<sup>1)</sup>とほとんど同じ回帰関係である。鋼塊内では底部の減少量が頭部よりやや多い傾向にある。

### 3.4 Mn の挙動

スラグによつて、底部で増加し、頭部に向かつて増加量が少なくなるもの、底部から頭部までほとんど増減のないもの、底部で減少し、頭部に向かつて減少量が少くなるものの 3 種類にわけられる。第 1 の群には G80 と  $\text{CaF}_2\text{-Al}_2\text{O}_3\text{-CaO}$  系が属する。第 2 の群には  $\text{CaF}_2\text{-CaO}$  系と  $\text{CaF}_2\text{-Al}_2\text{O}_3$  系が属する。第 3 の群には純  $\text{CaF}_2$  とチタニア系が属する。第 2 群と第 3 群のスラグはいずれも  $\text{MnO}$  を含有しないスラグであるが、Mn の挙動に差が現われた原因はまだよく判らない。

直流による溶解の場合、Mn は次式にしたがつて挙動すると考え



$K'_{\text{Mn}} = (\text{MnO}/[\% \text{Mn}])(\text{FeO})$  の値を算出したところほぼ 1~2 であつて、これは (1) 式の  $K_{\text{Mn}}$  の 2000°K における値と比較的よい一致を示した<sup>1)</sup>。本実験でも  $K'_{\text{Mn}}$  は 1~2 の値も多いが、ややはざれたものも認められた。

### 3.5 P の挙動

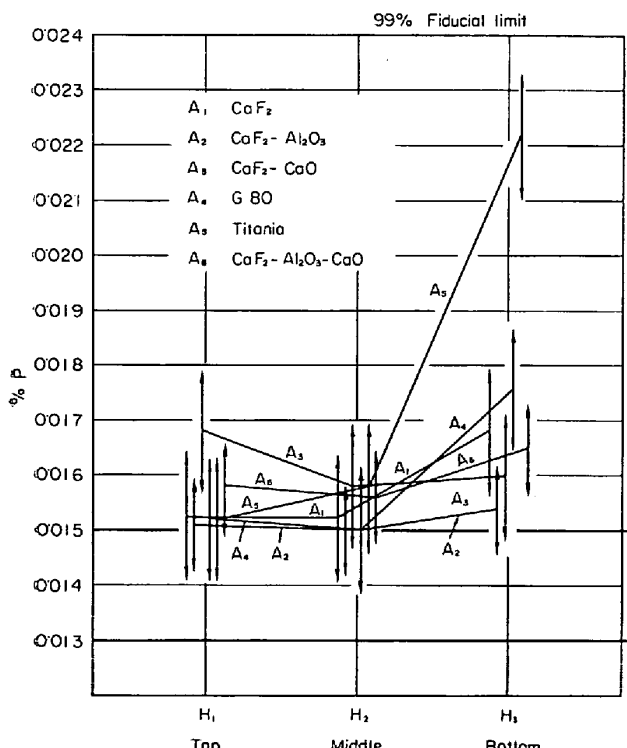
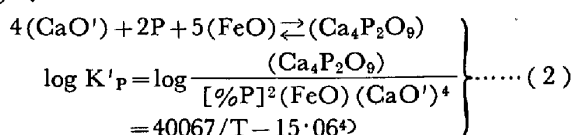


Fig. 1. Behaviour of P.

直流の場合<sup>1)</sup>と同様にいずれのスラグを使用した場合にも増加し、底部の方が増加量が多い。その結果を Fig. 1 に示す。脱焼反応は (2) 式のように有効石灰  $\text{CaO}'$  の概念から考えると、よく平炉の実績にもあうとされている<sup>4)</sup>。



そこで、本実験においても (2) 式の反応を考えて、 $K'_{\text{P}}$  を算出したところ、 $10^{11} \sim 10^{17}$  の間にバラツキた。2000°K における  $K'_{\text{P}}$  の実験値および平炉の実績ではほぼ  $10^5$  であり、大きな差が認められる。 $K'_{\text{P}}$  が大きいことは脱焼に都合がよいのであるが、実際にはスラグ中の  $\text{FeO}$  が低いために、脱焼は認められない。WILLIAMS<sup>5)</sup> は  $\text{CaF}_2\text{-CaO}$  系でも脱焼を認めているが、本実験ではこの系のスラグでも脱焼は認められなかつた。

### 3.6 S の挙動

直流による溶解では脱硫は認められかつたが<sup>1)</sup>、本実験では顕著な脱硫を認めた。一般の製鋼反応では S の挙動はスラグメタル反応を主として考え、 $(\% \text{S})/[\% \text{S}]$  について論じられている。そこで  $(\% \text{S})/[\% \text{S}]$  と塩基度との関係をみると Fig. 3 のようになり、バラツキが大きくて、これでは実験結果の説明は十分にできない。もし脱硫が分配反応だけによるとすれば、溶解前後において S の総量は等しくなければならないが、実際にはスラグ中の S はほとんどの場合溶解後減少している。したがつて、脱硫は  $\text{SO}_2$  または  $\text{SF}_6$  のような気体となつて系外に逃げる反応も考えなければならない。一例として  $\text{SO}_2$  となる反応を考えると次式のようになり、

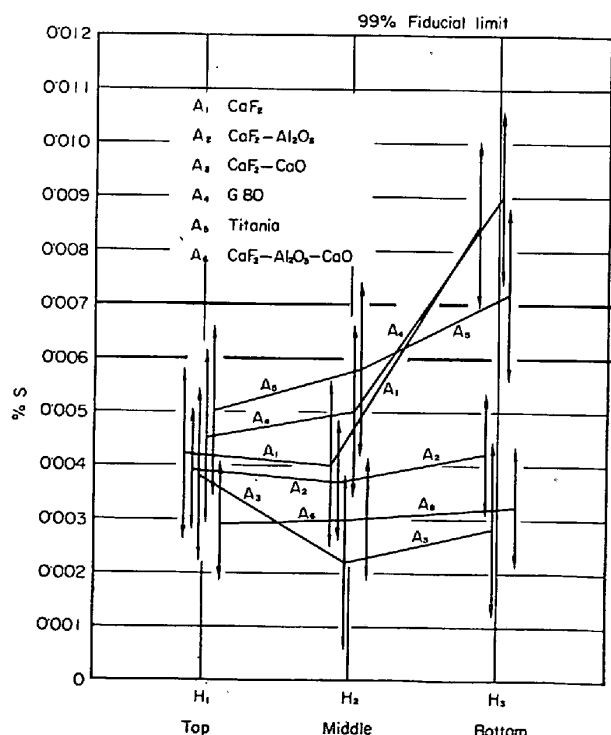
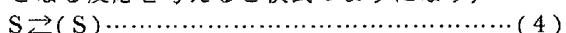


Fig. 2. Behaviour of S.

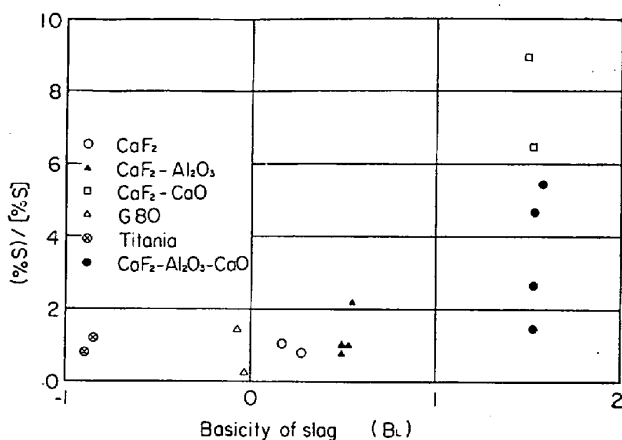


Fig. 3. Partition coefficient of S vs basicity.

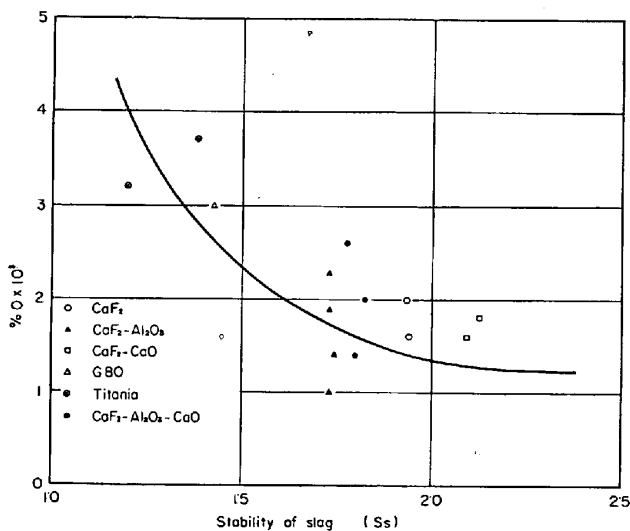
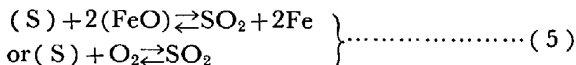


Fig. 4. % O vs stability of slag.



スラグによって脱硫の程度に差が認められるのは、S の分配比だけでなく、(4) 式または (5) 式の反応速度がスラグによって違うのではないかとも考えられる。この点は今後検討していくたい。

### 3.7 Cr の挙動

Cr の挙動は C の挙動にやや似ており、底部において減少が認められる。

### 3.8 O の挙動

S と同様に直流による溶解では脱酸が認められなかつたが<sup>1)</sup>、本実験では顕著な脱酸が認められた。ただし、G80 およびチタニア系ではほとんど O の減少は認められない。その他 CaF<sub>2</sub> 基のスラグではほぼ同程度に減少した。鋼塊内では底部外周部の O がやや高いほかは、ほぼ均一な分布を示した。脱酸の機構は物理的には、スラグによる酸化物系介在物の吸収除去と溶湯プールからの浮揚と考えてよいであろう。化学的には酸化物系介在物がスラグに吸収されるため、その酸化物の活量が低下することにより、脱酸反応がさらに進行して、O が減少することが考えられる。スラグが SiO<sub>2</sub>, MnO, FeO などの比較的不安定な酸化物を多量に含有する場合には、

物理的脱酸は期待できるが、化学的には溶鋼中の脱酸元素がこれらの酸化物によつて酸化され、脱酸反応が逆方向に進んで、O が増加するものと考えられる。そこで、スラグを構成する酸化物の安定性を示す安定度 Ss<sup>6)</sup> と %O との関係をみると Fig. 4 のとおりであつて、この考えは一応妥当と考えられる。

### 3.9 N の挙動

N は直流の場合<sup>1)</sup> と同様にほとんど減少しない。

### 3.10 非金属介在物の挙動

清浄度の測定結果はかなりバラツイているが、ほぼ O の挙動と同じである。介在物の光学顕微鏡観察および XMA による定性分析の結果では、スラグ微粒子の混入によると考えられる介在物もかなり見られた。介在物の挙動に関しては今後定量分析およびサンド分析などによつて漸次明らかにしていきたい。

## 4. 結 言

交流チャレクトロスラグ溶解炉による軸受鋼 SUJ-2 の 100 kg 型鋼塊に関する実験結果を直流による溶解結果と対比しつつ述べた。交流と直流とのちがいは前者では脱硫脱酸が顕著であるのに対し、後者では脱硫、脱酸がほとんど認められないばかりか、かえつて増加することもある。

## 文 献

- 1) 草道、成田、福原、小山: 鉄と鋼, 51 (1965) 4, p. 802
- 2) 森: 鉄と鋼, 46 (1960) 4, p. 466, 金属学会誌, 24 (1960), p. 383
- 3) J. CHIPMAN, J. B. GERO, and T. B. WINKLER: Trans. Met. Soc. Amer. Inst. Min., Met. & Pet. Eng., 188 (1950), p. 341
- 4) Basic Open Hearth Steelmaking, A. I. M. E., 1964, New York, p. 707
- 5) A. C. WILLIAMS: J. Iron & Steel Inst. (U. K.), (1962) July, p. 581
- 6) 成田、伊藤、松本: 鉄と鋼, 51 (1965) 10, p. 1948

## (71) アーク炉におけるアーク現象について

大同製鋼、中央研究所 滝 波 勝 文  
〃 高蔵製作所

工博 江口 勇・○曾根 定家  
東海電極製造 工博 岡田 純  
Electric Arc Behaviour in Steelmaking Arc Furnaces

Katsunori TAKINAMI, Dr. Isamu EGUCHI  
Sadaie SONE and Dr. Jun OKADA

## 1. 緒 言

製鋼用アーク炉の生産性向上について最近いろいろな研究が進められている。しかし基本的なアーク現象の研究は 2, 3 の報告<sup>1)~4)</sup> がされているにすぎず、アーク炉のアーク、すなわち大電流アーク現象については十分